

EL NIÑO/OSCILACIÓN DEL SUR (ENSO, por sus siglas en inglés) DISCUSIÓN DIAGNÓSTICA

emitido por el

CENTRO DE PREDICCIÓN CLIMÁTICA/NCEP/NWS
Traducción cortesía del: NWS-WFO SAN JUAN, PUERTO RICO
9 de julio de 2026

Estatus del Sistema de alerta del ENSO: Advertencia de El Niño

Sinopsis: Las condiciones de El Niño continúan y se espera que se fortalezcan hasta el final del año, con un 97% de probabilidad de que persistirán hasta comienzos de la primavera 2027.

Las condiciones de El Niño se fortalecieron durante el pasado mes, con una extensa área de anomalías en las temperaturas de superficie oceánicas (SSTs, por sus siglas en inglés), superiores a +1,0 °C a través del océano Pacífico ecuatorial central a este (Fig. 1). El valor semanal más reciente del índice Niño-3.4 fue de +1,2 °C, mientras que los índices de las regiones más al oeste (Niño-4) y más al este (Niño-1+2) fueron de +0,5 °C y +2,7 °C, respectivamente (Fig. 2). El índice de temperatura en la subsuperficie ecuatorial (promedio entre 180° - 100° O) aumentó (Fig. 3), debido a que una reciente onda Kelvin de hundimiento (downwelling Kelvin wave) profundizó la termoclina y elevó las temperaturas a través del este del Pacífico (Fig. 4). Se observaron anomalías de vientos del oeste en los niveles bajos de la atmósfera y anomalías de vientos del este en los niveles altos sobre el oeste y centro del Pacífico ecuatorial. La convección se intensificó sobre el Pacífico ecuatorial central y este-central, mientras que se suprimió sobre Indonesia (Fig. 5). Los índices tradicionales y ecuatoriales de la Oscilación del Sur fueron significativamente negativos. Colectivamente, el sistema acoplado océano-atmósfera reflejó un fortalecimiento de las condiciones de El Niño.

El promedio del Conjunto Multi-Modelo de Norteamérica (NMME), incluyendo el NCEP CFSv2 (Fig. 6), pronostica que El Niño continuará intensificándose durante 2026. Además de los pronósticos de los modelos, el fuerte acoplamiento entre la circulación atmosférica y oceánica en el Pacífico aporta un nivel de confianza muy alto de que El Niño persistirá hasta principios de 2027 (Fig. 7). Existe un [81 % de probabilidad de que se presente un El Niño muy fuerte](#) durante el período de octubre a diciembre (Fig. 8), que estaría posicionándose entre los eventos de El Niño más grandes [en el registro histórico que data desde el 1950](#). No obstante, aún los eventos más fuertes de El Niño no producen los impactos típicos en todas las regiones, pueden inclinar significativamente las probabilidades a favor de los resultados esperados (refiérase a las [perspectivas de CPC](#) para anomalías estacionales). En resumen, las condiciones de El Niño continúan fortaleciéndose y se espera que sigan intensificándose hasta finales de año, con un 97% de probabilidad de que persistan hasta comienzos de la primavera de 2027.

Esta discusión es un esfuerzo consolidado de la Administración Nacional Oceánica y Atmosférica (NOAA, por sus siglas en inglés), el Servicio Nacional de Meteorología de NOAA y sus instituciones financiadas. Las condiciones oceánicas y atmosféricas son actualizadas semanalmente en la página web del Centro de Predicción Climática ([Condiciones actuales de El Niño/La Niña y La Discusión de Expertos](#)). Un pronóstico probabilístico de la intensidad de ENSO está disponible [aquí](#). La próxima Discusión Diagnóstica de ENSO está programada para el 13 de agosto de 2026. Para recibir una notificación por correo electrónico cuando la Discusión

Diagnóstica de ENSO mensual esté disponible, favor enviar un mensaje a: ncep.list.enso-update@noaa.gov.

Centro de Predicción Climática
Centros Nacionales de Predicción Ambiental
NOAA/Servicio Nacional de Meteorología
College Park, MD 20740

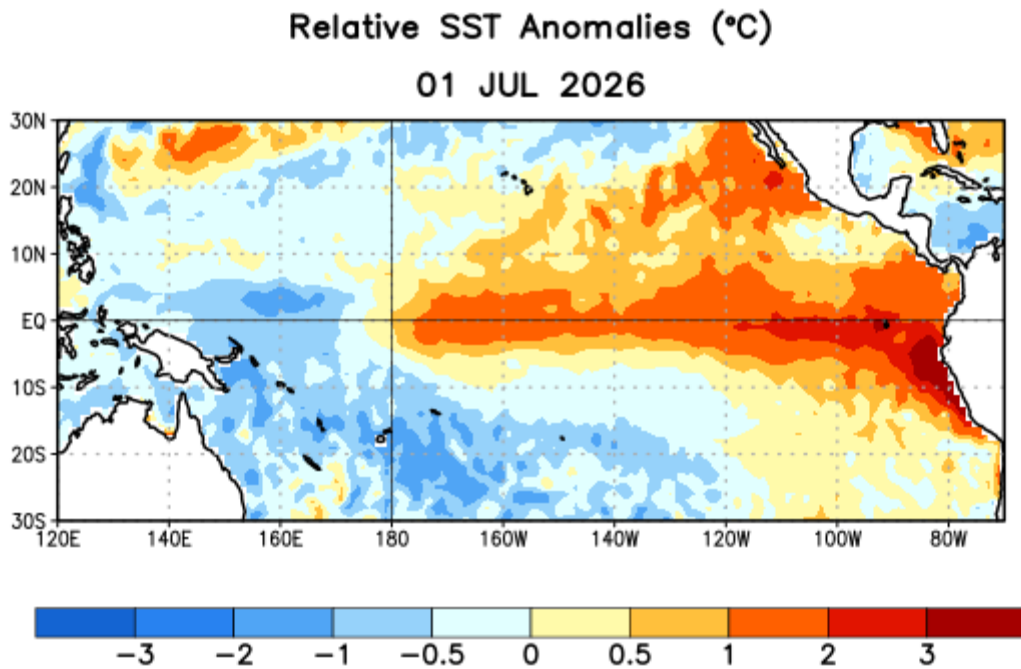


Figura 1. Anomalías (°C) de la temperatura relativa de la superficie del océano (SST, por sus siglas en inglés) para la semana centrada en el 1 de julio de 2026. Las anomalías son calculadas utilizando como referencia los promedios semanales del período base de 1991-2020.

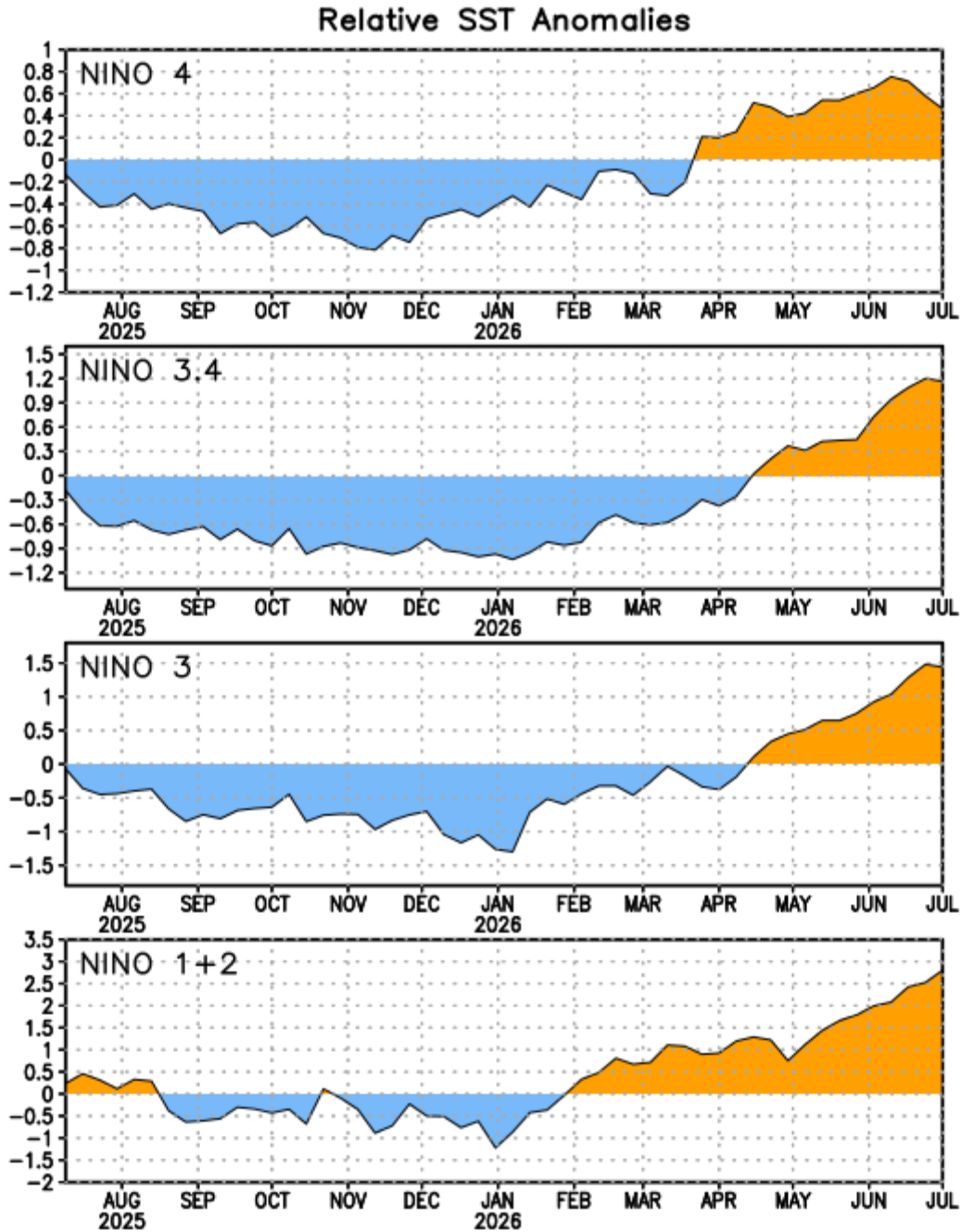


Figura 2. Series de Tiempo de las anomalías (en °C) de temperatura relativa de la superficie del océano (SST) en regiones de El Niño [Niño-4 (5°N-5°S, 160°E-150°O), Niño-3.4 (5°N-5°S, 170°O-120°O), Niño-3 (5°N-5°S, 150°O-90°O), Niño-1+2 (0°-10°S, 90°O-80°O) menos el promedio tropical (20°N-20°S). Los índices relativos son reajustados para igualar la varianza de los índices tradicionales Las anomalías son variaciones de los promedios semanales del período base de 1991-2020.

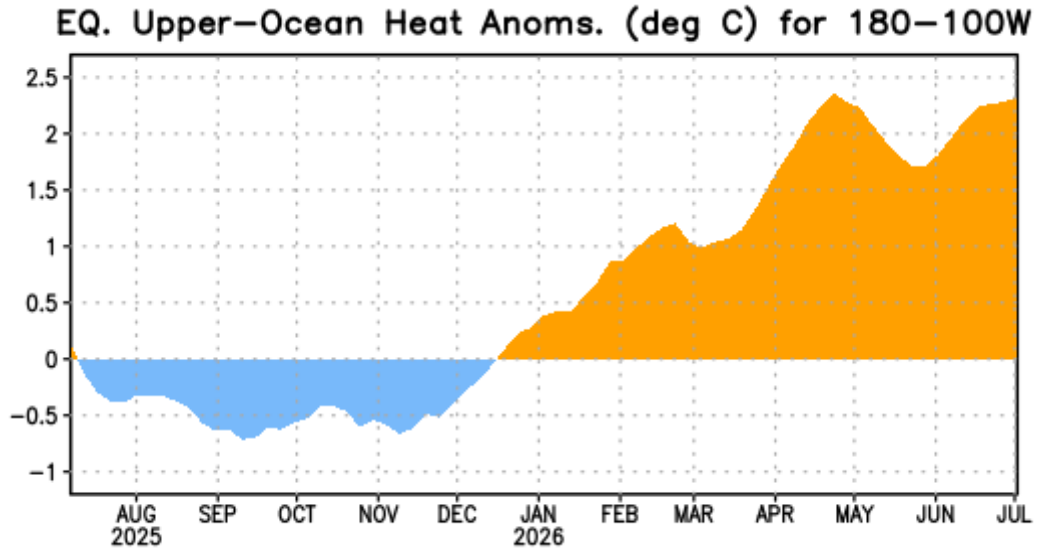


Figura 3. Anomalías del contenido calórico (en °C) en un área promediada de la capa superior (0-300m) del Océano Pacífico ecuatorial (5°N-5°S, 180°-100°O). La anomalía del contenido calórico se calcula como la desviación de los penta-promedios del período base de 1991-2020.

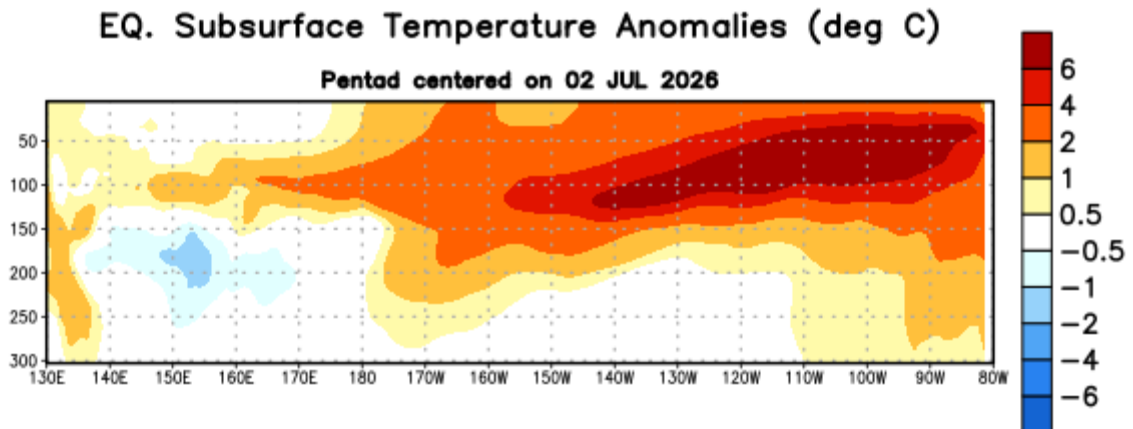


Figura 4. Sección de profundidad-longitud de las anomalías de temperatura (°C) de la capa superior del océano Pacífico ecuatorial (0-300 m) centrada en la semana del 2 de julio de 2026. Las anomalías son desviaciones respecto a los promedios del período base de 1991-2020.

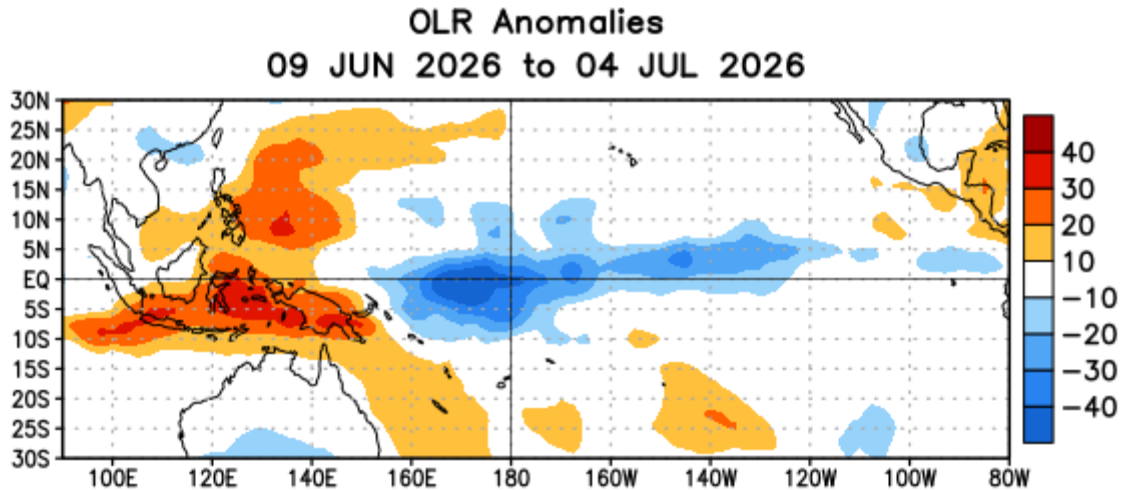


Figura 5. Promedio de las anomalías de radiación de onda larga saliente (OLR) (W/m^2) para el período del 9 de junio – 4 de julio de 2026. Las anomalías de OLR se calculan como desviaciones respecto a las medias del período base 1991-2020.



NWS/NCEP/CPC

Last update: Mon Jul 6 2026
Initial conditions: 25Jun2026–4Jul2026

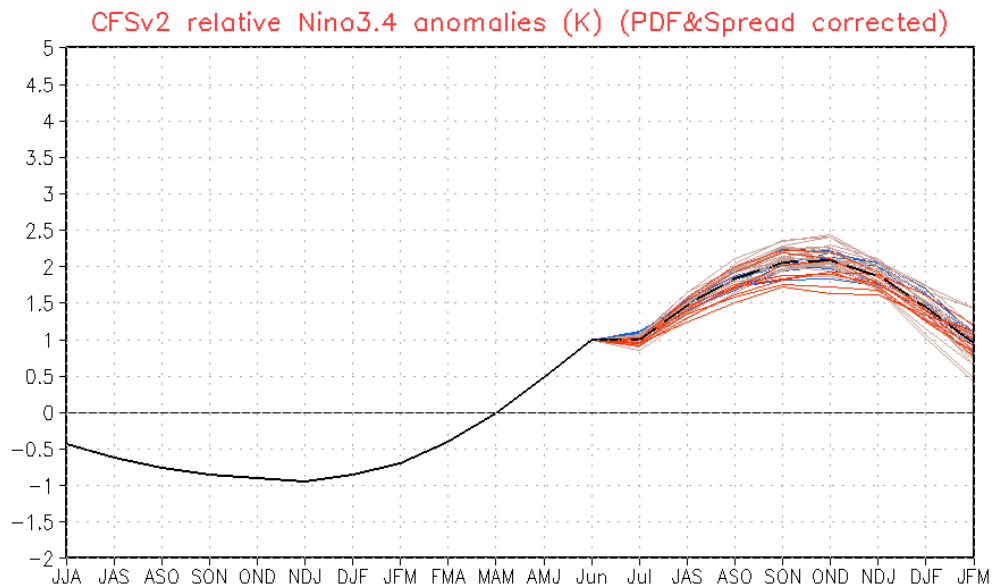


Figura 6. Predicción del Sistema de Pronósticos del clima de NCEP (CFSv2) de las anomalías de la temperatura relativa de la superficie del océano (SST) en la región de El Niño 3.4 ($5^{\circ}N-5^{\circ}S$, $120^{\circ}O-170^{\circ}O$) menos el promedio tropical ($20^{\circ}N-20^{\circ}S$). Índice relativo es reajustado para igualar la varianza del índice tradicional. Gráfico actualizado el 6 de julio de 2026.

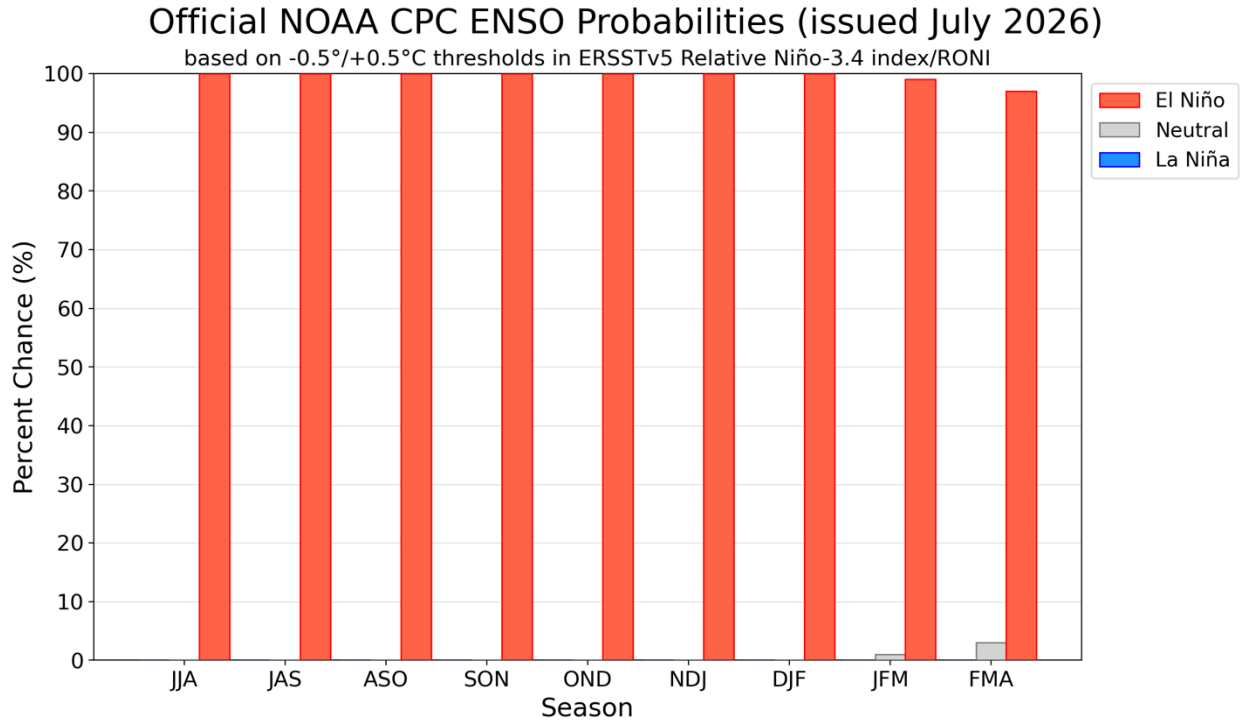


Figura 7. Probabilidades oficiales de ENSO para el índice de temperatura relativa de la superficie del mar en la región Niño 3.4 (5°N - 5°S , 170°O - 120°O) menos el promedio tropical (20°N - 20°S). Índice relativo es reajustado para igualar la varianza del índice tradicional. Figura actualizada el 9 de julio de 2026. Imagen/tabla de alta resolución: https://cpc.ncep.noaa.gov/products/analysis_monitoring/enso/roni/probabilities/

NOAA CPC ENSO Strength Probabilities (issued July 2026)

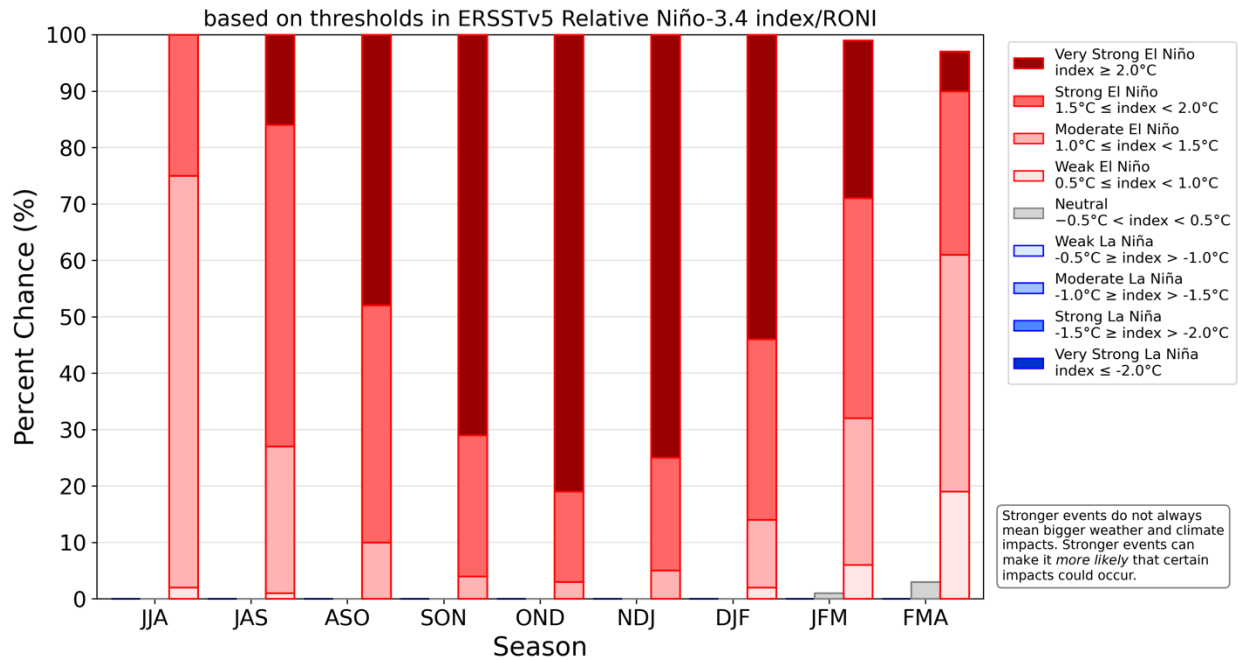


Figura 8. Probabilidades de fortalecimiento de ENSO para el índice relativo de la temperatura en la superficie del mar de la región del Niño 3.4 (5°N-5°S, 170°O-120°O) menos el promedio tropical (20°N-20°S). El índice relativo es reajustado para igualar la varianza del índice tradicional. Figura actualizada el 9 de julio de 2026. Imagen/tabla de alta resolución: https://cpc.ncep.noaa.gov/products/analysis_monitoring/enso/roni/strengths.php